

НОВАЯ ВОЗМОЖНОСТЬ ПОИСКА P, T -НЕИНВАРИАНТНЫХ ЭФФЕКТОВ

А.П.Серебров

*Институт ядерной физики им. Б.П.Константинова
188350 г.Гатчина, Ленинградская обл., Россия*

Поступила в редакцию 20 мая 1993 г.

Предлагается метод поиска P, T -неинвариантных эффектов при прохождении нейтронного пучка через поляризованную ядерную мишень. Метод состоит в измерении отношения асимметрии к поляризации и позволяет избавиться от ложных эффектов, связанных с ядерным псевдомагнетизмом и слабым магнетизмом.

В связи с обнаружением значительного усиления P -неинвариантных эффектов на p -резонансах [1] неоднократно поднимался вопрос о возможности наблюдения P, T -неинвариантного эффекта для корреляции $s[J \times k]$ при прохождении поляризованного нейтронного пучка через поляризованную ядерную мишень [2-8] (k – волновой вектор нейтрана, s – спин нейтрана, J – спин ядра мишени). Однако существует проблема выделения искомой корреляции $s[J \times k]$ на фоне эффектов от корреляций ($s \cdot J$) и ($s \cdot k$), ответственных за сильное и слабое спин-зависящие взаимодействия. Обычный метод измерения поляризации или асимметрии является неприемлемым в данном случае, поскольку эффекты от сильного и слабого взаимодействий значительно превосходят возможный P, T -неинвариантный эффект. Сравнение продольной поляризации (P), возникающей при прохождении через мишень неполяризованного пучка и асимметрии (A) счета детектора, возникающей при реверсе продольной поляризации пучка, падающего на мишень, позволяет решить данную задачу. Отличие асимметрии и поляризации может возникать для продольной поляризации только при нарушении временной четности, а для поперечной поляризации – при нарушении как пространственной четности, так и временной четности.

Предлагается метод измерения отношения асимметрии к поляризации, который может быть реализован в экспериментальной установке, представленной на рис. 1. Она состоит из поляризатора (p), анализатора (a), исследуемой поляризованной ядерной мишени (T) и двух флипперов (F_1, F_2), обеспечивающих реверс поляризации нейтронного пучка, и детектора (D). Два возможных состояния флипперов дают четыре измеряемые скорости счета нейтронного детектора $N_{++}, N_{+-}, N_{-+} N_{--}$. Индексы +, – соответствуют знаку тока в первой и второй катушках адиабатических флипперов.

Данная схема является суммой двух схем: одной – для измерения асимметрии (поляризатор, флиппер F_1 , мишень, детектор) и второй – для измерения поляризации (мишень, флиппер F_2 , анализатор, детектор). Для измерения интересующей величины в данной схеме легко устраниТЬ влияние избыточных элементов, сложив результаты измерений с противоположными состояниями флипперов: флиппера F_1 для получения поляризации P , флиппера F_2 – для получения асимметрии A .

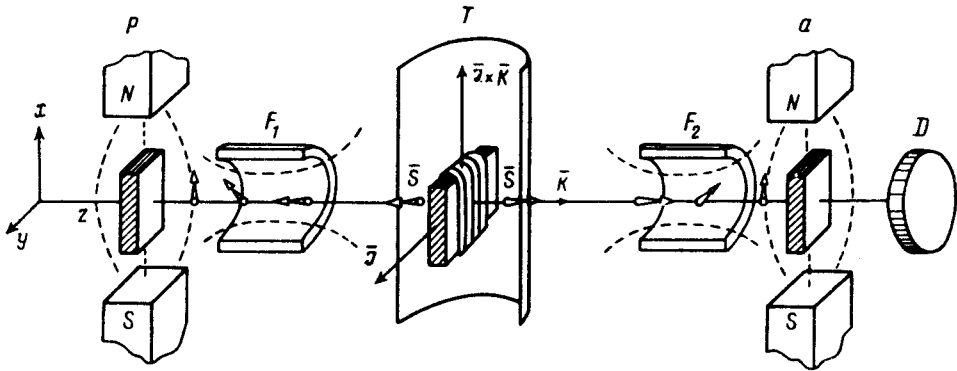


Рис. 1. Схема экспериментальной установки: p – поляризатор, a – анализатор, T – поляризованная ядерная мишень с соленоидом, создающим магнитное поле, расположенная в сверхпроводящем магнитном экране, F_1, F_2 – флипперы нейтронной поляризации, D – детектор

Можно показать, что экспериментально измеряемое отношение

$$X \equiv \frac{(N_{++} + N_{+-}) - (N_{--} + N_{-+})}{(N_{++} + N_{-+}) - (N_{--} + N_{+-})} = \frac{pA}{aP} = \frac{p[(T_{11} - T_{22}) - (T_{12} - T_{21})]}{a[(T_{11} - T_{22}) + (T_{12} - T_{21})]} \quad (1)$$

является отношением асимметрии (A) к поляризации (P), поправленным на поляризующую (p) и анализирующую (a) способности поляризатора и анализатора. Оно может быть выражено через коэффициенты пропускания мишени без изменения и с изменением спинового состояния нейтрона T_{11} , T_{22} , T_{12} , T_{21} , которые определяются следующим образом:

$$\begin{pmatrix} J_1^k \\ J_2^k \end{pmatrix} = \begin{pmatrix} T_{11} & T_{12} \\ T_{21} & T_{22} \end{pmatrix} \begin{pmatrix} J_1^n \\ J_2^n \end{pmatrix}, \quad (2)$$

где J_1^n , J_2^n , J_1^k , J_2^k – интенсивности нейтронных спиновых компонент до и после мишени, которые могут быть выражены через волновые функции соответствующих состояний:

$$J_1^n = \varphi_1(0)\varphi_1^*(0), \quad J_2^n = \varphi_2(0)\varphi_2^*(0), \quad (3)$$

$$J_1^k = \varphi_1(Z_0)\varphi_1^*(Z_0), \quad J_2^k = \varphi_2(Z_0)\varphi_2^*(Z_0). \quad (4)$$

Волновые функции являются решением уравнений

$$\frac{\hbar^2}{2m} \frac{d^2\psi}{dz^2} + (E - U - iW - \vec{\sigma}\vec{H})\psi = 0; \quad \psi = \begin{pmatrix} \varphi_1 \\ \varphi_2 \end{pmatrix}, \quad (5)$$

$$\frac{\hbar^2}{2m} \frac{d^2\varphi_1}{dz^2} + (E - U - iW - H_z)\varphi_1 - (H_x - iH_y)\varphi_2 = 0, \quad (6)$$

$$\frac{\hbar^2}{2m} \frac{d^2\varphi_2}{dz^2} + (E - U - iW + H_z)\varphi_2 - (H_x + iH_y)\varphi_1 = 0. \quad (7)$$

Решая уравнения (6), (7) и используя соотношения (2), получим

$$T_{11} - T_{22} = \frac{2}{HH^*} \left[\operatorname{Re}(H_z H^*) \operatorname{sh} k \frac{\operatorname{Im} H}{E - U} Z_0 + \right. \\ \left. + \operatorname{Im}(H_z H^*) \sin k \frac{\operatorname{Re} H}{E - U} Z_0 \right] \exp \left(-k \frac{w}{E - U} Z_0 \right), \quad (8)$$

$$T_{12} - T_{21} = \frac{2}{HH^*} \left(\operatorname{ch} k \frac{\operatorname{Im} H}{E - U} Z_0 - \cos k \frac{\operatorname{Re} H}{E - U} Z_0 \right) \cdot \\ \cdot (\operatorname{Re} H_x \operatorname{Im} H_y - \operatorname{Re} H_y \operatorname{Im} H_x) \exp \left(-k \frac{w}{E - U} Z_0 \right), \quad (9)$$

где Z_0 – толщина мишени, H – эффективное псевдомагнитное поле, являющееся векторной суммой полей: магнитного H_m , ядерного псевдомагнитного поля $H_n = H_n^0 J/J$, слабого псевдомагнитного поля $H_p = H_p^0 \mathbf{k}/k$, P, T -неинвариантного псевдомагнитного поля $H_t = H_t^0 [J \times k]/Jk$; реальная часть эффективного псевдомагнитного поля определяет энергию взаимодействия спина нейтрона ($\mu = 1$), мнимая ответственна за спин-зависящую часть поглощения; U – спин-независящая реальная часть потенциала среды для нейтрона, W – спин-независящая мнимая часть потенциала среды для нейтрона. Ось Z выбрана по оси пучка, ось Y выбрана так, чтобы вектор магнитного поля мишени лежал в плоскости YZ . Поскольку вектор поляризации мишени и вектор магнитного поля совпадают, компонента псевдомагнитного поля H_x обязана только взаимодействию $s(J \times k)$. В отсутствие такого взаимодействия $H_x = 0$, а $T_{12} = T_{21}$, $P_z = A_z$.

Для продольно поляризованного пучка неравенство $T_{12} \neq T_{21}$ возникает только за счет псевдомагнитного P, T -неинвариантного поля H_t . Характерным эффектом наличия $s(J \times k)$ -взаимодействия является особенность функции X вблизи $T_{11} - T_{22} \approx 0$, то есть вблизи угла $\vartheta = \pi/2$ – угла между направлением поляризации мишени и осью пучка (поперечно поляризованная мишень). Внутри области $+\pi/2 > \vartheta > -\pi/2$ P, T -неинвариантный эффект подавляется и величина X определяется отношением p/a . Эффекты $(s \cdot J)$ и $(s \cdot k)$ для величины X скомпенсированы в данной схеме на основе равенства $P_z = A_z$ для продольной поляризации. Рис.2,а иллюстрирует поведение функции $X(\vartheta)$ при наличии эффекта от $(s[J \times k])$ -взаимодействия.

По существу в предлагаемом эксперименте проверяется равенство прямого и обратного процессов спин-флиппа нейтрона при прохождении через поперечно поляризованную мишень – из положительной спиральности в отрицательную и наоборот. Векторная сумма магнитного и ядерного псевдомагнитного полей должна обеспечивать переворот спина нейтрона, что достигается подстройкой тока в поперечном соленоиде мишени для получения максимального эффекта.

Возможные ложные эффекты могут быть проверены поворотом мишени на 180° , изменением знака векторной суммы магнитного и ядерного псевдомагнитного полей, измерениями с неполяризованной мишенью, исследованием энергетической зависимости эффекта вблизи резонанса.

Выражения для $T_{11} - T_{22}$, $T_{12} - T_{21}$ в случае поперечной поляризации в X -направлении (P_z) могут быть получены из формул (8), (9) заменой $H_x \rightarrow H_y$, $H_y \rightarrow H_z$, $H_z \rightarrow H_x$; в случае поперечной поляризации в Y -направлении (P_y) заменой $H_x \rightarrow H_z$, $H_y \rightarrow H_x$, $H_z \rightarrow H_y$. Детальный анализ полученных

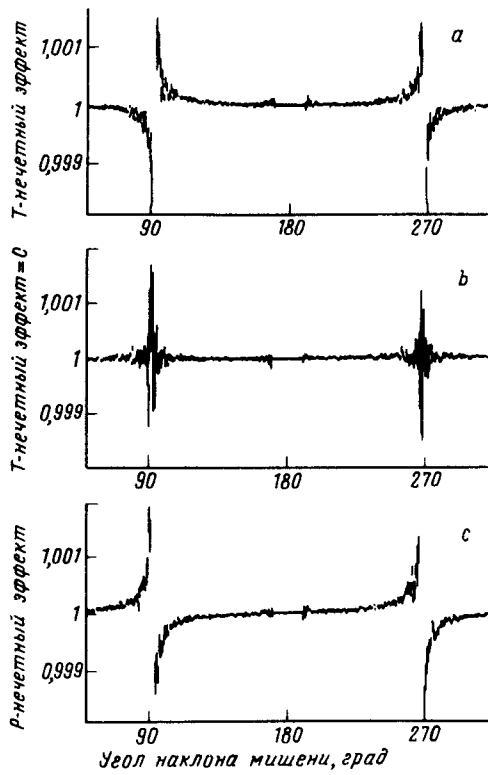


Рис.2. Моделированные зависимости функции $X(\vartheta)$: а – зависимость $X(\vartheta)$ при наличии искомого эффекта $b[J \times K]$, $\text{Im}H^0_t/\text{Im}H_N^0 = 3 \cdot 10^{-5}$; б – зависимость $X(\vartheta)$ в отсутствие эффектов, которая характеризует статистическую точность измерений; в – зависимость $X(\vartheta)$, связанная с эффектом $(s \cdot K)$ и наличием поперечной составляющей поляризации в направлении X , $\text{Im}H_p^0/\text{Im}H_n^0 = 10^{-1}$, $P_x = 10^{-3}$

соотношений показывает, что основным условием отсутствия ложного эффекта от $(s \cdot k)$ -взаимодействия в эксперименте по поиску P, T -неинвариантного $s[J \times k]$) взаимодействия является отсутствие вклада поперечной поляризации в X -направлении, тогда как вклад поперечной поляризации в Y -направлении не оказывает влияния. Ложный эффект в отличие от истинного не меняет знака при повороте мишени на 180° (см. рис.2, в), поэтому истинный P, T -неинвариантный эффект может быть выявлен поворотом мишени или реверсом суммарного поля $H_n + H_m$.

Разработка эксперимента на базе предлагаемого метода требует детального моделирования геометрии эксперимента с учетом расходности пучка и неоднородностей магнитных полей, возникающих вблизи сверхпроводящего экрана мишени. Особо внимательного рассмотрения заслуживает вопрос о совершенстве адиабатических симметричных флипперов.

Эксперименты по поиску P, T -неинвариантных эффектов планируются в

Японии и США [9,10]. Особенностью предлагаемого метода является принципиально новый подход к подавлению ложных эффектов, основанный на использовании равенства $P_z = A_z$ и введении новой измеряемой величины $X = A/P$, требующей четырех измерений с разными комбинациями состояний двух флипперов до и после мишени.

В предлагаемом методе влияние спин-зависящего сильного взаимодействия ($s \cdot J$) компенсируется для любой проекции поляризации, а влияние слабого взаимодействия ($s \cdot k$) устраняется для продольной поляризации. При наличии малой поперечной составляющей поляризации P , T -неинвариантный эффект выделяется реверсом суммарного поля $H_n + H_m$.

Метод может быть реализован на пучке реактора ВВР-М с роторным прерывателем, разработанным в ИТЭФ, на импульсном реакторе ИБР-30 и других импульсных нейтринных источниках (KEK, LAMPF). Наиболее выгодные условия для проведения такого эксперимента могут быть созданы на источнике горячих нейтронов реактора ILL (Гренобль).

Предварительные оценки для ^{139}La показывают, что статистически достигнутая точность измерений отношения H_t^0/H_n^0 равна $3 \cdot 10^{-5}$, что приблизительно соответствует ограничению на CP -нарушающую нуклонную константу $2 \cdot 10^{-4}$. Настоящий экспериментальный предел, полученный из электрического дипольного момента нейтрона, равен $(2 \div 4) \cdot 10^{-3}$.

Автор благодарен А.К.Петухову за плодотворные обсуждения и проведение численных расчетов.

-
1. V.P.Alfimenkov et al. Nucl. Phys. **A398**, 93 (1983).
 2. P.K.Kabir, Phys. Rev. **D25**, 2013 (1982).
 3. L.Stodolsky, Nucl. Phys. **B197**, 213 (1982).
 4. V.E.Bunakov and V.P.Gudkov, Jour. de Phys. Colloque **45**, C3, 77 (1984).
 5. L.Stodolsky, Phys. Lett. **B172** 5 (1986).
 6. P.K.Kabir, Phys. Rev. Lett. **60**, 686 (1988).
 7. P.K.Kabir, Nucl. Instr. and Meth. **A284**, 63 (1989).
 8. Y.Masuda, KEK Preprint 90-113, October 1990.
 9. Y.Masuda, KEK Preprint 91-127, October 1991.
 10. J.D.Bowman, C.D.Dowman, J.E.Bush et al., Phys. Rev. Lett. **65**, 1192 (1990).